движения раствора возле капельного катода

11. СКОРОСТЬ ДВИЖЕНИЙ РАСТВОРА И ПРИРОСТ СИЛЫ ТОКА НА ПОЛЯРО-ГРАФИЧЕСКОЙ КРИВОЙ "СИЛА ТОКА—НАПРЯЖЕНИЕ"

Т. А. Крюкова и Б. Н. Кабанов

В настоящее время можно считать установленным, что движение раствора возле ртутного катода, вызванное движением поверхности ртути, обусловливает дополнительную подачу восстанавливаемого вещества к катоду. В результате этого на кривой "сила тока — напряжение" наблюдается максимум, т. е. создается сила тока большая,

чем это может быть обусловлено диффузией в растворе при отсутствии тангенциального движения поверхности

ртути.

В том случае когда поверхность ртути движется в тангенциальном направлении, она увлекает за собой раствор. Слой раствора, непосредственно прилегающий к капле, можно считать движущимся с такой же скоростью, как и поверхность ртути. Скорость движения остальной жидкости по мере удаления от поверхности капли все время уменьшается. Чем дольше продолжаются рост капли и тангенциальное движение поверхности, тем более толстый слой жидкости движется со скоростью, приближающейся к скорости движения поверхности. Такое явление происходит, как это видно из схемы

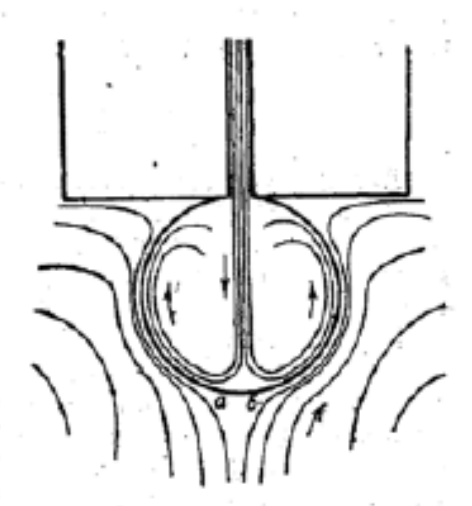


Рис. 1. Движения раствора возле капли ртути и движения ртути внутри капли

рис. 1, на довольно значительной части поверхности электрода. На этой поверхности диффузия восстанавливаемого вещества происходит, в первом приближении, из раствора, практически неподвижного относительно ртути. Опыт показывает, что, например, при скорости движения ртути 10 мм в секунду движение за время образования капли распространяется на 1,5—2,0 см, причем скорость его лишь постепенно уменьшается по мере удаления от поверхности ртути. Толщина же диффузионного слоя обычно не превышает 0,2 мм. Поэтому величина диффузионного тока і остается почти неизменной

¹ Под этим термином в настоящей работе мы подразумевали слой раствора, отличающийся по концентрации от основной массы раствора и видимый с помощью интерферометрической установки. Этот диффузионный слой неоднократно описан Антвейлером [1].

и в случае движущегося раствора. Но к этой величине i_a прибавится новая величина силы тока i_a , происходящая вследствие добавочного восстановления вещества, приносимого струей раствора к небольшой части электрода, там, где встречаются потоки ртути и раствора (рис. 1, точки a и b). В этом месте раствор, протекающий возле электрода, еще не обеднен восстанавливаемым веществом, как в других частях электрода, где образовался обедненный диффузионный слой. Поэтому здесь идет ток i_a , величина которого пропорциональна запасу восстанавливаемого вещества в слое раствора, равном по толщине лиффузионному слою, а также пропорциональна скорости движения раствора, т. е. скорости приноса вещества. Следовательно, во-первых, i_a , как и i_a , процорциональна концентрации, во-вторых, i_a , пропорциональна толщине слоя, которая, повидимому, практически постоянна, и, в-третьих, i_a , пропорциональна скорости движения раствора.

Таким образом, максимальная сила тока i_m должна быть равна $i_e + i_v$, из которых только последняя величина должна зависеть от скорости движения раствора. Тогда $i_m - i_a = i_v$, приросту силы тока, и $\frac{i_v}{v_p}$ (где v_p скорость движения раствора) при прочих равных условиях должно равняться постоянной величине. Поскольку это имеет большое значение для полярографического анализа, мы предприняли настоящую работу с целью количественного изучения зависимости

і, от движения раствора.

Экспериментальная часть

Аппаратура для измерения скоростей движения раствора уже описана нами в предыдущей работе [2]. Графит 1, применяемый для обнаружения движений раствора, промывался кислотами и затем многократно дестиллированной водой. Следует отметить, что даже такой промытый графит в некоторых случаях (например, в 0,01 N KCI) несколько замедляет движение раствора и подавляет максимум; Поэтому первоначальные опыты производились с малым количеством графита, практически не замедляющим движения раствора. Однако последующие опыты производились с большим количеством графита, работа с которым значительно удобнее. Это оказалось возможным потому, что, как ноказал опыт, количество графита не влияет на наблюдаемые соотношения между скоростью движения раствора и приростом силы тока.

Измерение скорости производилось фотографическим путем. След, оставляемый светящейся частицей на негативе, измерялся с помощью микроскопа. По длине полученной черты и продолжительности экспозиции вычислялась скорость движения частицы. Измерения производились в одном и том же (по отношению к капле) участке раствора. Ввиду возможности случайных отклонений, брали среднее из 30—50 промеров. Приведенные в таблицах скорости

являются такими средними скоростями.

Одновременно с измерением скорости движений раствора снимались полярограммы данного раствора. В тех случаях, когда необходимо было получить полярограмму неподвижного раствора, съемка велась в присутствии 0,02% желатины.

¹ Кроме графита, были еще яспытаны разные сорта стекля, квари, слюда и т. п., Однако измерение скорости в присутствии графита наиболее удобио.

Капилляр употреблялся во всех случаях один и тот же. Масса ртути, вытекающей из капилляра в 1 сек. m=2,22 мг, время образования одной капли t=2,0 сек., следовательно, величина, характери-

зующая капилляр, $m^{\frac{2}{3}}t^{\frac{1}{6}}=1.92$ при E=0. Величины силы тока, приведенные в таблицах, везде выражены нами в микроамперах и от-

несены к постоянной капилляра $m^{\frac{1}{3}}t^{\frac{1}{6}}$. Для измерений скорости околокатодных движений раствора, изменяющихся в зависимости от концентрации сопутствующего электролита, нами взяты растворы KC1, насыщенные кислородом воздуха. В таких растворах очень удобно наблюдать различные движения раствора,

Табинца 1

Концентра- ция NaCl (N)	Конпентрация O ₂ в $\alpha_{15} \cdot 10^3$		
	найденная поля- рографически	по данным Геф- кена [3] н Гудвина [4]	
0,1 0,5 1,0 2,0	31,6 29,0 (24,6) 17,5	31,5 29,2 24,6 17,3	

Определения концентрации кислорода в растворах КСI производились полярографическим путем, поскольку в литературе известно одно только значение растворимости кислорода в присутствии КСI для 1 N КСI. Такие же определения кислорода в растворах NaCI, для которых в литературе имеются данные, показывают, что цифры, получаемые полярографическим путем, достаточно надежны (табл. 1).

Скорости движений раствора и прирост силы тока при разной концентрации сопутствующего электролита

Величина прироста силы тока $i_v = i_m - i_n$ (табл. 2) определялась для первой полярографической волны кислорода, соответствующей процессу восстановления O_2 до H_2O_3 . Прирост силы тока при одной и той же скорости зависит, как сказано выше, и от концентрации

Таблица 2

				11.1.1.1.1	
Концентра- ция КС1 (N)	Концентра- ция кисло- рода в мил- лимолях на литр	<i>i</i> _φ (μ A)	B MM/cek	i _v	Направле- ине движений раствора
0,001 0,01 0,01 0,1 1,0 Hacum,	1,31 1,24 1,24 1,18 1,11 0,75	9,50 5,64 3,45 1,29 0,75 0,29	17,0 9,33* 5,85 2,33 1,40 0,77	(0,43) 0,49 0,48 0,47 0,48 0,50	Винз Вверх

^{*} Скорость измерена при очень малом содержании графита в растворе.

восстанавливаемого вещества, а растворимость O_2 в КС1 меняется с концентрацией КС1; постоянство соотношения $\frac{l_p}{v_p}$ должно существовать лишь при постоянной концентрации восстанавливаемого вещества. Поэтому для экспериментальной проверки закономерности связи движения раствора и максимума на полярографической кривой необходимо разделить это отношение на концентрацию.

Как видно из таблицы, $\frac{l_v}{e \cdot v_p}$ в пределах ошибки опыта есть величина постоянная.

Отношение прироста силы тока к скорости движения раствора при разных потенциалах

Как уже показали визуальные наблюдения, проведенные нами раньше [2], скорость движения раствора при различных потенциалах различна. Причина этой зависимости будет подробнее рассмотрена нами в следующем сообщении. Напомним лишь, что в разбавленных растворах электролитов (например, 0,001—0,01 N КСІ) движения раствора направлены вниз и останавливаются при достижении электродом потенциала максимума электрокапиллярной кривой. В более концентрированных растворах (выше 0,1 N) движения направлены вверх, не останавливаются при достижении электродом потенциала максимума электрокапиллярной кривой, и их интенсивность меняется с поляризацией¹.

В табл. З приведены измеренные скорости движений раствора в области потенциалов, при которых возникает вторая волна кислорода, соответствующая процессу восстановления H_2O_2 до H_2O . Величина t_p вычислена по приросту силы тока, соответствующему суммарному процессу восстановления: O_2 до H_2O_2 и H_3O_3 до H_2O .

Измерено при потен- циале (v)	v _p B mm/cex	đ ₀ (μΑ)	$\frac{i_v}{v_p \cdot c \cdot 2}$	Концентра- ция ҚСІ (<i>N</i>
or - 0,9 go - 1,90 - 0,9 - 1,90 - 1,20 - 1,38 - 1,62 - 1,38 - 1,85	0 0,75 1,86 1,40 2,00 1,95	0 0,70 1,85 1,47 1,51 1,45	0,47 0,45 0,47 0,50 0,49	0,001 0,01 0,1 1,0 1,0 Насыш.

Таблица 3

Из приводимых здесь данных видно, что указанное выше постоянство отношения между приростом силы тока и количеством приносимого к электроду вещества сохраняется.

Прирост силы тока и концентрация восстанавливаемого вещества

Для проверки постоянства отношения $\frac{I_{\sigma}}{c}$ при постоянной v_{ρ} нами взяты растворы свинца, поскольку приготовление растворов, содер-

¹ Движение раствора при большой концентрации сопутствующих солей вызывается движением поверхности ртути, происходящей вследствие вытекания ртути из капиляра. Скорость движения раствора в этом случае пропорциональна скороств течения ртути в капиляре.

жащих заданные концентрации кислорода, затруднительно. Растворы были насыщены КС1 при 15°С. И в этом случае постоянство отношения $\frac{i_p}{c \cdot v_p}$ сохраняется.

Таблица 4 Концентрация Рь v_p i_{σ} в миллимолях $l_{\varphi}(\mu A)$ в мм/сек $c \cdot v_p$ на литр 0,77 0,77 0,77 0,77 0,156 0,50 0,76 3,80 1,98 1,98 2,50 7.55 1,96

Прирост силы тока и скорость движений раствора в зависимости от природы восстанавливаемых ионов

При одинаковой скорости подачи раствора к электроду сила тока, ограничиваемая диффузией, как известно, пропорциональна подвижности l_k и эквивалентной концентрации катиона. Если это принять во внимание, то надо ожидать, что при движении раствора около капли ртути должно сохраняться постоянным соотношение $\frac{l_v}{c.v_p.l_k}$. Из приводимых в табл. 5 данных видно, что это, в пределах ошибки опыта, действительно подтверждается для ионов разной валентности.

Таблица 5 Потенци-C Конпенал, при Конценlk (18°) Процесс на v_p котором трация трация $i_v(\mu A)$ измерена в миллиэлектроде $c \cdot v_p \mid_k$ в мм/сек в Q-1 см2 сила тоэквивал. KCI (N) Ka (V) на литр Cd --- Cd -0,70 -0,500,77 1,40 1,04 45,1 61,0 61,0 0,57 1,47 1,0 0,0164 0,0173 0,0169 Насыщ. Pb··→ Pb . 1,0 -0,50 -0,50 -0,50 2,0 1,07 1,0 0,20 0,77 0,77 0,77 0,76 61,0 Насыщ. 0,0162 0,156 61,0 61,0 0,0166 -0,50 -0,50 5,0 3,80 ٠. 7,55 10,0 0,77 61,0 0,0161 1,58 5,50 1,52 $Mn^{-} \rightarrow Mn$ 4,04 1,95 1,95 44,5 0,0157 . -1,581,06 44,5 0,0165 1,56 1,0 Co → Co . . -1,58 -1,58 45,0 45,0 1,02 1,13 0,0158 1,02 1,28 2,88 1,50 1,95 1,95 0,77 0,0168 0,0159 Насыщ. 1,46 -1,58 -0,70 1,79 45,0 Cu⁻⁻→ Cu 1,70 0,0170 45,3 . 0,74 1,95 Fe--- --- Fe---0,181,08 61 Cr··→ Cr . -1,76 5,40 2,80 3,75 45 0,0164 -1,76 $\frac{1,89}{18,24}$ 1,95 45 0,0168 -1,44 Th····→ Th 13,5 3,76 0,0155 2,03 23,5 -1,5923,5 1,95 5,44 0.0152Среднее.... 0.0163

Движение поверхности ртути и раствора создает добавочную силу тока, пропорциональную скорости движения раствора, эквивалентной концентрации иона и его подвижности.

Это представление объясняет возникновение полярографического максимума при движении ртути и дает возможность в каждом отдельном случае детально объяснить форму полярографического максимума.

Москва НИУИФ Лаборатория контроля производства и автоматики

Поступило в редакцию 21.XII.1940

цитированная литература

- 1. Antweiler H., Z. Elektrochem., 44, № 10, 719; № 11, 831, № 12, 888, 1938. 2. Крюкова Т. А. и Кабанов Б. Н., Журн. физич. химии, 8, 1454, 1939. 3. Geffcken, Z. physik. Chem., 49, 257, 1904. 4. Goodwin, Ber., 15, 3039, 1882.

Extracted from e-book http://e-heritage.ru/Book/10074106 (p.475-480)